В. А. ПОСОШЕНКО, канд. техн. наук, А. Ф. ИЗМАЙЛОВ. А. В. САДЧИКОВ

ДИСКРЕТНАЯ ФИЛЬТРАЦИЯ ОГИБАЮЩЕЙ УЗКОПОЛОСНОГО ПРОЦЕССА

Введение

Ряд проблем в области радиотехники требует обработки входных сигналов, для которых известна минимальная априорная информация о занимаемой полосе частот и времени существования на произвольном интервале времени наблюдения.

В этом случае приемлемыми оказываются алгоритмы обработки, основанные на так называемом "энергетическом подходе" [1], который предполагает получение приведенной к дисперсии шума оценки энергии полосового процесса на интервале наблюдения. Для гауссового характера шумов эта оценка представляет собой реализацию случайной величины ξ , которая подчиняется либо центральному, либо нецентральному распределению χ^2_N с N степенями свободы, где N – количество статистически независимых выборок на зафиксированном интервале наблюдения.

Таким образом, актуальна задача отыскания алгоритма реального времени для полосовой фильтрации входных колебаний и получения выборок квадратурных составляющих результата фильтрации, по которым удобно получать приведенную к шумам оценку энергии узкополосного процесса.

Основная часть

Цифровые квадратурные преобразователи предназначены для выделения комплексной амплитуды сигнала, состоящей из синфазной и квадратурной компонент. Использование комплексного представления сигнала при цифровой обработке позволяет получить всю возможную информацию, передаваемую сигналом.

Квадратурные составляющие сигнала определяются следующим образом.

Для этого необходимо осуществить узкополосную фильтрацию входных колебаний S(t), а потом просуммировать квадраты $A^2(n\cdot T)$ выборочных значений огибающей узкополосного процесса. Узкополосный процесс представлен выражением

$$X(t) = A(t) \cdot \cos(2\pi \cdot f_{\iota} \cdot t + \theta(t)), \tag{1}$$

где f_c – центральная частота исходного широкополосного процесса S(t), Γu ; $\theta(t)$ – случайный сдвиг фазы; A(t) – огибающая узкополосного процесса; T – интервал дискретизации, определяемый полосой узкополосного фильтра.

Использование свойств функции комплексной переменной позволяет совместить дискретные операции узкополосной фильтрации и определения значений квадратов огибающей отфильтрованного сигнала.

Частоту дискретизации выбираем

$$F_d = 2 \cdot (f_c + f \mathbf{1}), \tag{2}$$

где fI – некоторая добавка к частоте дискретизации;

Рассмотрим операцию предобработки. Она заключается в домножении каждой n-й дискреты $[S(n\cdot Td)]$ на дискретную комплексную экспоненту $\exp(j\cdot n\cdot \wp \cdot Td)$:

$$\xi(n \cdot Td) = S(n \cdot Td) \cdot \exp(j \cdot n \cdot \varphi_r \cdot Td), \qquad (3)$$

где Td — период дискретизации, c.

Низкочастотные процессы Sc(t) и Ss(t) называются квадратурными составляющими процесса S(t) относительно колебания с частотой ω_c . С их помощью сигнал можно записать выражением (3) по формуле Эйлера:

$$\xi(n \cdot Td) = S_c(t) + S_S(t), \qquad (4)$$

где $S_c(t) = S(n \cdot Td) \cdot \cos(n \cdot \omega_c \cdot Td)$; $S_s(t) = S(n \cdot Td) \cdot j \cdot \sin(n \cdot \omega_c \cdot Td)$.

Дискретизация узкополосного сигнала на основе выделения его квадратурных составляющих иллюстрируется диаграммами в частотной области на рис. 1, 2 показаны условный спектр $W_s(\omega)$ исходного процесса S(t) и спектр $W_s(\omega)$ комплексного сигнала $\xi(n\cdot Td)$.

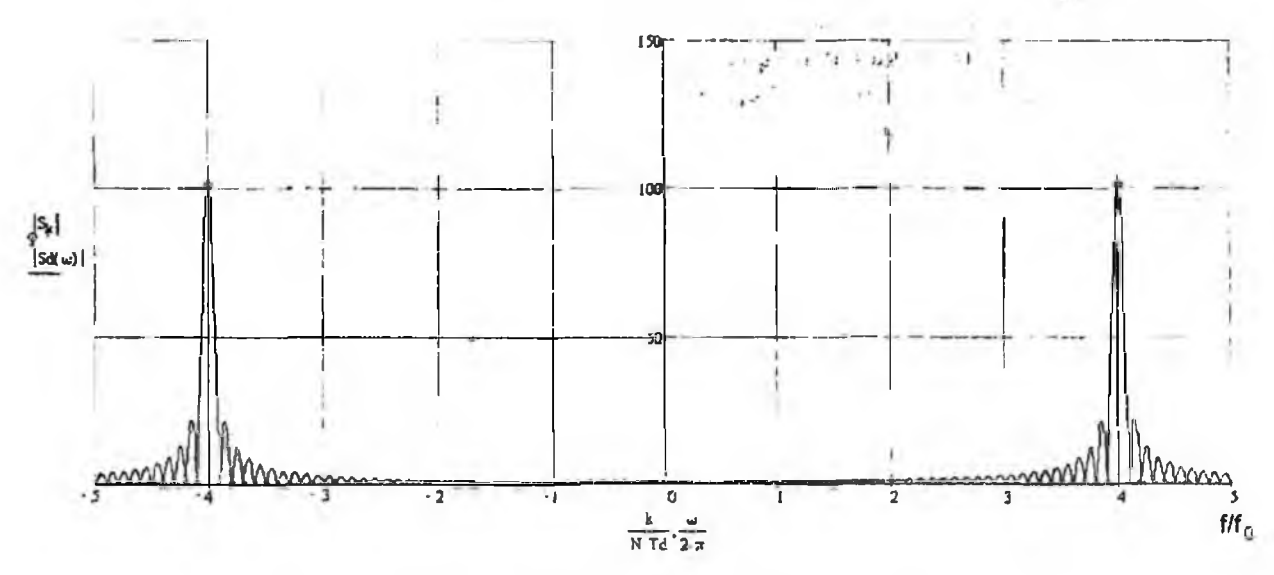


Рис. 1. Модуль спектра исходного полосового процесса S(t)

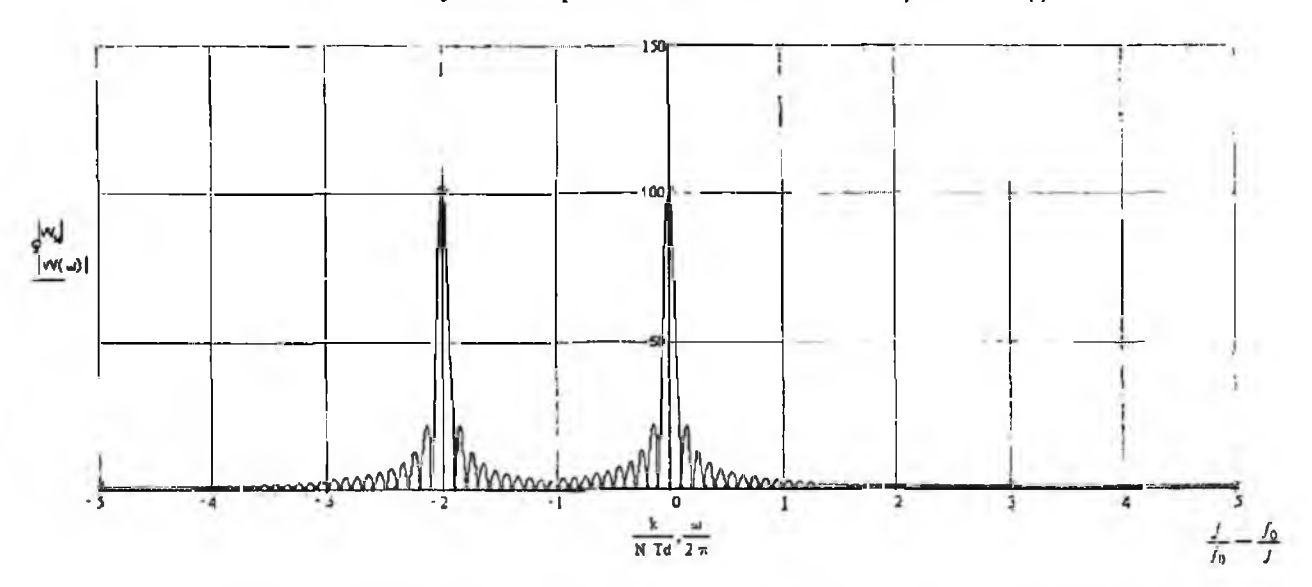


Рис. 2. Модуль спектра $W_{\varepsilon}(\omega)$ сигнала после умножения на комплексную экспоненту

Из рис. 1, 2 видно, что операция предобработки заключается в перемещении спектральных составляющих S(t) близких к $-f_c=-4f_0$ в область нулевых частот. А участок исходного спектра $W_s(\omega)$, примыкающий к $f_c=4f_0$, перемещается в область $-2f_0$. После чего подадим последовательность $\xi(n\cdot Td)$ на ФНЧ Баттерворта [2]. Тогда на выходе будет сформирована последовательность $g_c(n\cdot Td)$, которая описывается выражением (5) и определяется спектральными составляющими $W_s(\omega)$, взятыми в узкой полосе частот Δf в области частот $(-f_c)$. Сигнал $g_c(n\cdot Td)$ является комплексным за счет того, что исходный спектр $W_s(\omega)$ является несимметричным относительно частоты $(-f_c)$:

$$g(n \cdot Td) = g_c(n \cdot Td) + j \cdot g_s(n \cdot Td). \tag{5}$$

Для аппаратной реализации процедуры отыскания оценок $A^2(n\cdot Td)$ нет необходимости производить операцию постобработки и можно остановиться на следующем выражении:

$$A(n \cdot Td) = \sqrt{g_s^2(n \cdot Td) + g_s^2(n \cdot Td)}. \tag{6}$$

С помощью фильтров ФНЧ составляющие с суммарными частотами подавляются, а сигналы, содержащие только разностные частоты, являются квадратурными составляющими и должны пропускаться фильтрами без искажений.

Теперь можно посмотреть как происходит фильтрация сигнала при разных порядках ФНЧ Баттерворта и сравнить качество фильтрации.

Для второго порядка фильтра Баттерворта получены следующие графики AЧX фильтра и спектр на выходе фильтра показаны на рис. 3–5.

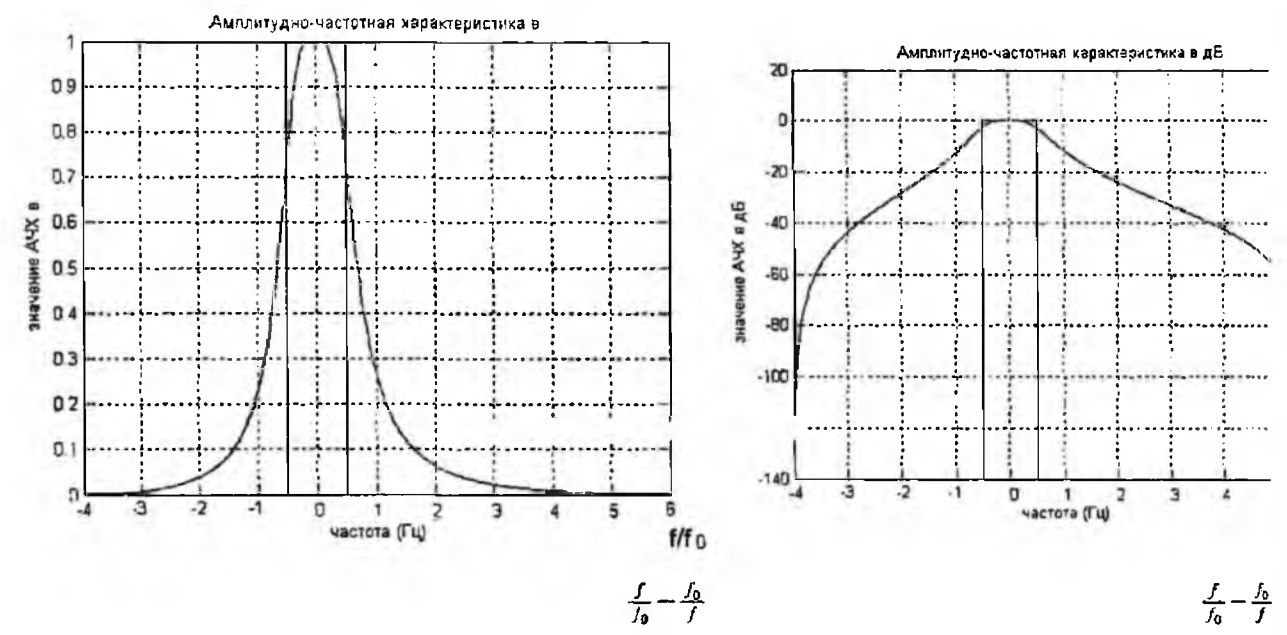


Рис. 3. АЧХ ФНЧ Баттерворта 2-го порядка

Рис. 4. АЧХ ФНЧ Баттерворта 2-го порядка

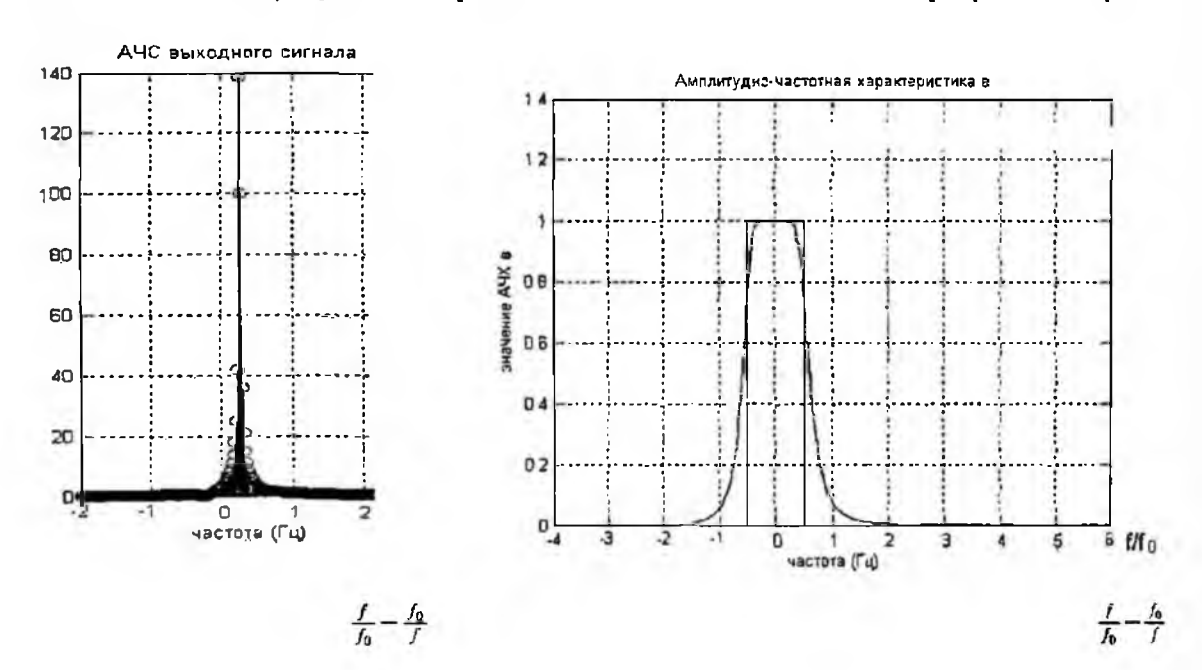


Рис. 5. Модуль спектра квадратурной составляющей на выходе ФНЧ 2-го порядка

Рис. 6. АЧХ ФНЧ Баттерворта 4-го порядка

Для четвертого порядка фильтра Баттерворта получены следующие графики АЧХ фильтра и спектр на выходе фильтра (рис. 6–8).

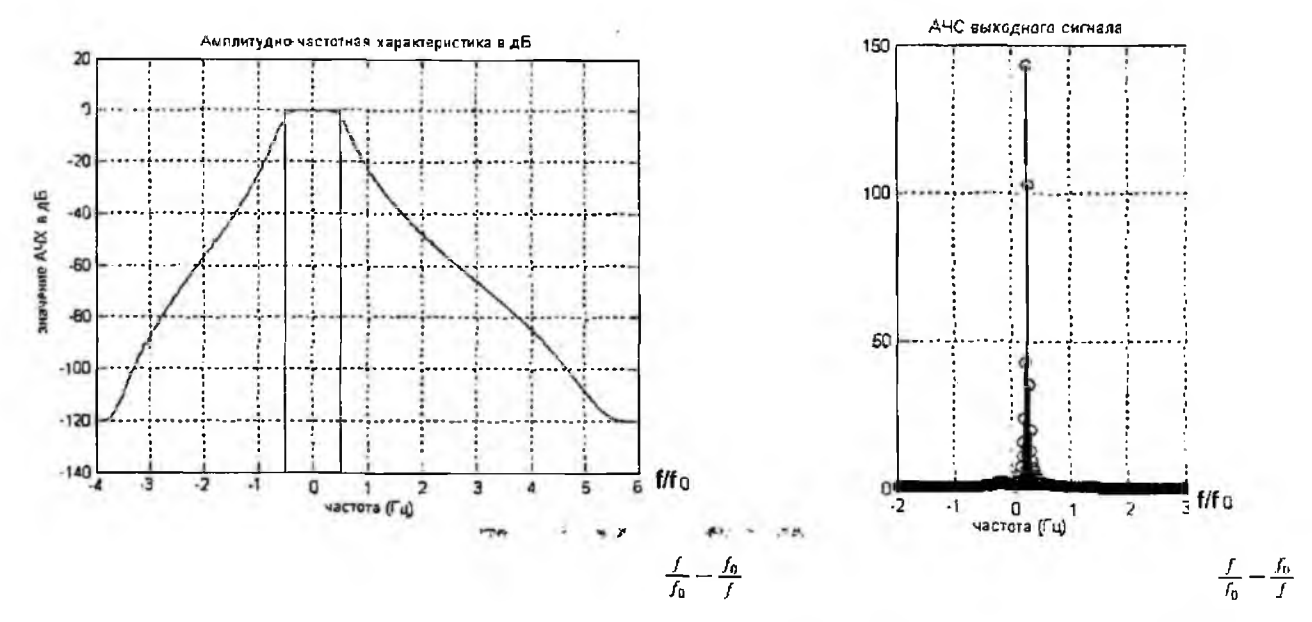


Рис. 7. АЧХ ФНЧ Баттерворта 4-го порядка, дБ

Рис. 8. Модуль спектра квадратурной составляющей на выходе ФНЧ 4-го порядка.

Для восьмого порядка фильтра Баттерворта получены следующие графики АЧХ фильтра и спектр на выходе фильтра показаны на рис. 9–11.

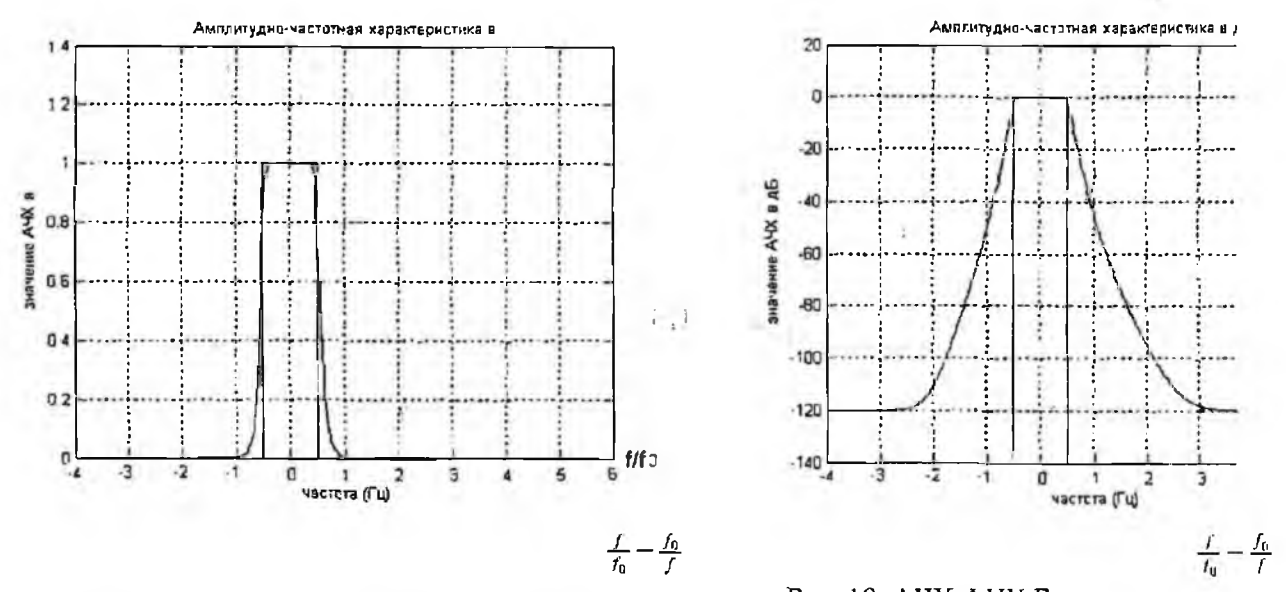


Рис. 9. АЧХ ФНЧ Баттерворта 8-го порядка

Рис. 10. АЧХ ФНЧ Баттерворта 8-го порядка, ∂E

Можно сделать вывод, что наиболее эффективная фильтрация сигнала наблюдалась при самом большом порядке фильтра — восьмом.

Таким образом, фильтрацию произвольного входного процесса S(t) можно заканчивать на этапе обработки полосовым фильтром последовательностей и суммирования квадратов выборочных значений сигналов ФНЧ.

$$\xi c(n \cdot Td) = S(n \cdot Td) \times \cos(n \cdot \omega_{\cdot} \cdot Td); \tag{7}$$

$$\xi s(n \cdot Td) = S(n \cdot Td) \cdot \sin(n \cdot \omega_c \cdot Td). \tag{8}$$

В ходе проделанной работы были реализовані метод додетекторного оценивания сигнала и его программная модель.

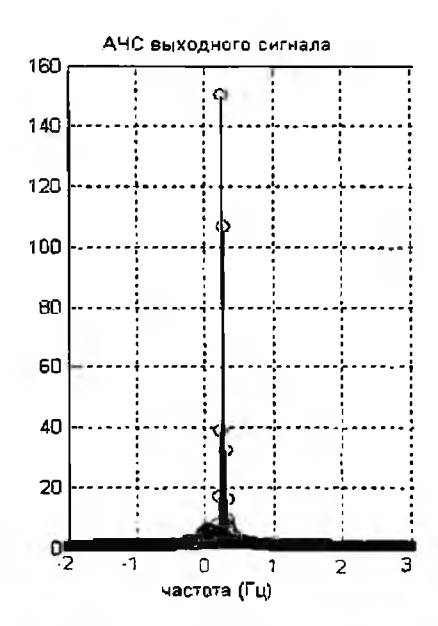


Рис. 11. Модуль спектра квадратурной составляющей на выходе ФНЧ 8-го порядка

Структурную схему дискретного фильтра огибающей узкополосного случайного процесса можно представить следующим образом (рис. 12): S(t) – исходный узкополосный сигнал подается на вход АЦП, где берутся выборки сигнала, после чего в операторах предобработки SIN и COS каналов производится операция согласно выражению (3), то есть перемещение спектра в область нулевых частот. Там же происходит разделение на два канала. С помощью фильтров ЦФНЧ производится фильтрация квадратурных составляющих. На выходе будут сформированы последовательности $g_c(n\cdot Td)$ и $g_s(n\cdot Td)$, взятыми в узкой полосе частот. В операторе постобработки отфильтрованный участок спектра $W_s(\omega)$ полосой Δf перемещается из области нулевых частот в область частоты $-f_c$. Следовательно, можно определить квадрат огибающей узкополосного процесса $A^2(n\cdot Td)$ в полосе частот Δf .

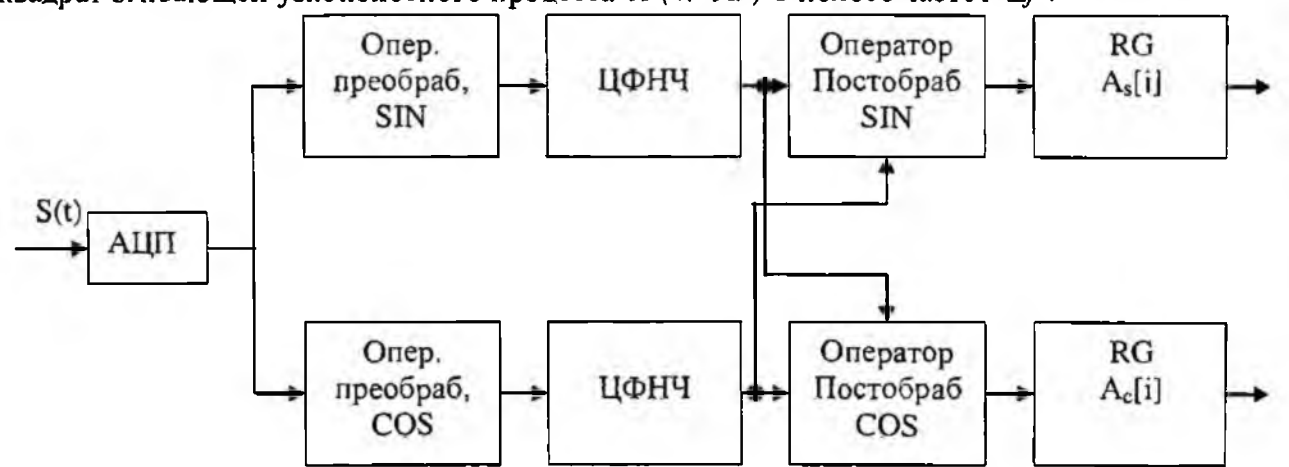


Рис. 12. Структурная схема дискретного фильтра огибающей узкополосного случайного процесса

Выводы

Рассмотренные дискретные процедуры предобработки, низкочастотной фильтрации и постобработки позволяют в едином масштабе времени реализовать алгоритм узкополосной фильтрации входных колебаний и получения отсчетов квадратурных составляющих результата фильтрации.

Представление сигнала квадратурными составляющими позволяет производить полноценную обработку без использования несущей (цеитральной) частоты ω_c , которая во многих случаях намного больше ширины спектра сигнала. Отказ от несущей частоты позволяет существенно снизить частоту дискретизации сиднала и тем самым упростить аппаратуру цифровой обработки.

Причем. существующая элементарная база позволяет реализовать этот алгоритм в реальном масштабе времени с накоплением результатов для последующей обработки на ЭВМ по более сложным алгоритмам.

Список литературы 1. Урковец А.. Обнаружение неизвестных детерминированных сигналов по энергии // ТИИЭР. 1967. Т. 55. № 4. С. 50–59. 2. Ахмед Н., Уэбстер А. Амстроиг Б. Об одном классе полосовых и режекторных фильтров Баттерворта // Тр. Ин-та инж. по электротехнике и радноэлектроники. 1987. Т. 75. № 11. С. 115-117.

Харьковский национальный университет радиоэлектроники

Поступила в редколлегию 05.04.2009